

УДК 535.338.41 + 539.193

АНАЛИЗ КОЛЕБАТЕЛЬНОЙ СТРУКТУРЫ УФ-СПЕКТРА БЕНЗОИЛФТОРИДА С ПРИМЕНЕНИЕМ НОВОГО КОМПЛЕКСА ПРОГРАММ

Л.А. Королева, В.И. Тюлин, В.К. Матвеев, Ю.А. Пентин

(кафедра физической химии)

Для молекулы бензоилфторида с применением нового комплекса программ проведен анализ колебательной структуры УФ-спектров поглощения, полученных независимо двумя группами авторов. Построено и проанализировано восемь таблиц Деландра с участием крутильных колебаний, что дало возможность надежно определить положения крутильных уровней до $v_1=6$ в обоих электронных состояниях. Уточнены параметры ПФВВ в обоих электронных состояниях.

Электронно-колебательные УФ-спектры ряда ароматических карбонильных соединений были исследованы нами ранее [1–4]. На основании полученных данных были построены потенциальные функции внутреннего вращения (ПФВВ), в том числе и для бензоилфторида [2]. УФ-спектр бензоилфторида был исследован также В. Белфором [5], причем экспериментальные частоты, найденные в этой работе, практически совпадают с данными, приведенными в [2] (табл. 3). Близкими оказались и основные результаты: частота 0–0-перехода, значения крутильных и некоторых других частот в обоих электронных состояниях и др. Однако некоторые отнесения колебательной структуры, сделанные в [2, 5], различаются. Главным недостатком такого рода работ в прошлом была субъективность отнесения колебательной структуры, что было связано с отсутствием строгой математической базы анализа. Обычно основанием для отнесения являлись приближенные расчеты составных частот без учета конкретных величин ангармоничности. Например, в работах [1–3] так же, как и в аналогичных работах других авторов, не учитывалось взаимодействие крутильного колебания с другими колебаниями. Близкие крутильные уровни, полученные из различных таблиц Деландра, обычно усреднялись как для нижнего $S_0(v_i)$, так и для верхнего $S_1(v_i)$ электронных состояний.

Общее уравнение для частот переходов в УФ-спектре имеет следующий вид [6]:

$$\begin{aligned}
 H = H_{00} + \sum \omega_i^{0'} v_i' + \sum_i \sum_{k>i} x_{ik}^{0'} v_i' v_k' + \\
 + \dots - \sum_i \omega_i^{0''} v_i'' - \sum_i \sum_{k>i} x_{ik}^{0''} v_i'' v_k'', \quad (1)
 \end{aligned}$$

где

$$\omega_i^0 = \omega_i + x_{ii} + \frac{1}{2} \sum_{i=k} x_{ik}$$

и

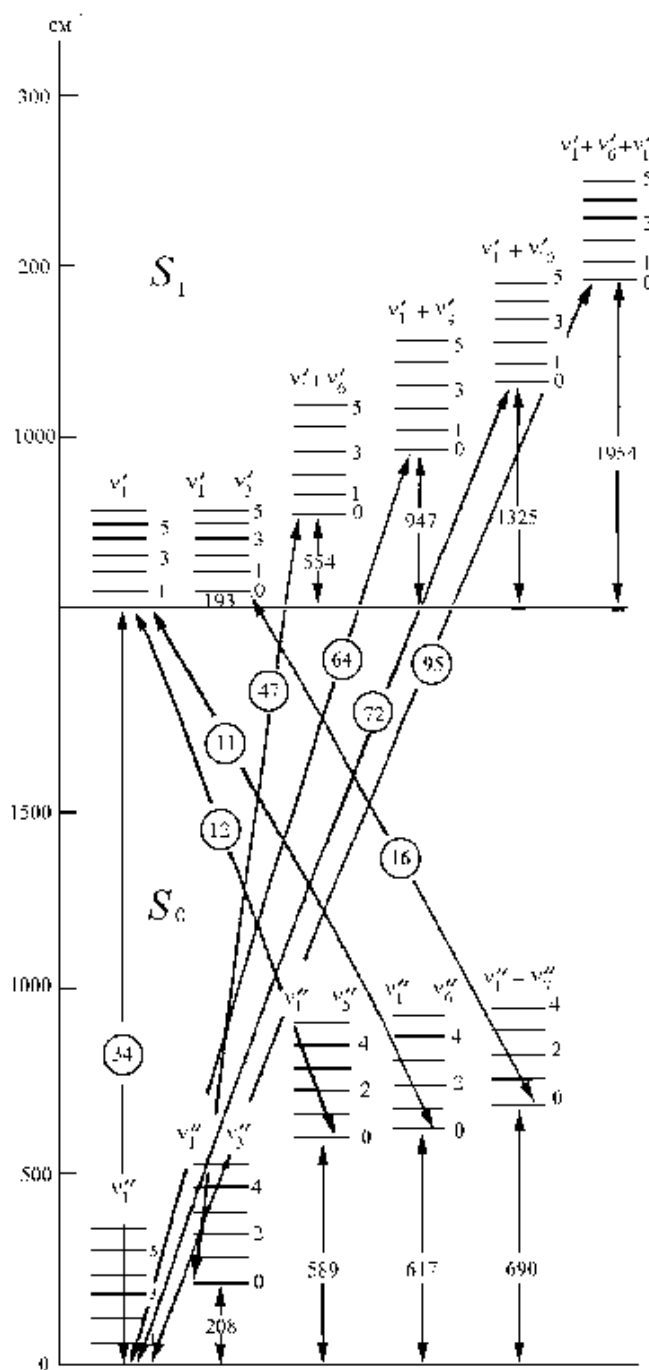
$$\begin{aligned}
 v_{00} = v_0 + \frac{1}{2} \sum_i \omega_i' + \frac{1}{4} \sum_i \sum_{k>i} x_{ik}' - \\
 - \frac{1}{2} \sum_i \omega_i'' - \frac{1}{4} \sum_i \sum_{k>i} x_{ik}''.
 \end{aligned}$$

Если возбуждено только одно колебание ($v_1 \neq 0$, остальные $v_i = 0$), то можно выделить уравнение для чистых крутильных переходов, оно описывает таблицу Деландра от 0–0-полосы электронного перехода

$$\begin{aligned}
 H = H_{00} + \omega_1' v_1' + \sum x_{11}' \left(v_1' \right)^2 + \\
 + \dots - \omega_1'' v_1'' - \sum x_{11}'' \left(v_1'' \right)^2 - \dots \quad (2)
 \end{aligned}$$

На рисунке показано, что только такая таблица Деландра для крутильных частот является «истинной», так как только в нее входят переходы между уровнями, невозмущенными взаимодействием с другими колебаниями. В спектре также проявляются много крутильных переходов иного рода. Они относятся к таблицам Деландра от так называемых «местных начал», которые соответствуют фундаментальным частотам либо основного (S_0), либо возбужденного (S_1) состояний. В этих случаях проявляются перекрестные ангармоничности, поэтому значения крутильных уровней усреднять нельзя. Из-за обилия всевозможных переходов между различными уровнями составных колебаний полного их отнесения сделать обычно не удается.

Схема крутильных уровней расшифрованных таблиц Деландра бензоилфторида в S_0 и S_1 электронных состояниях (см^{-1})



v'_1	v'_1	Составные частоты в S_1 -состоянии				
		$v'_1 + v'_3$	$v'_1 + v'_6$	$v'_1 + v'_9$	$v'_1 + v'_{10}$	$v'_1 + 1954$
6	537.0	—	—	—	564.5	457.0
5	449.7	—	485.9	442.1	466.0	396.2
4	361.4	367.9	385.2	356.2	369.2	329.1
3	272.4	275.2	286.3	269.0	274.2	255.9
2	182.4	183.1	190.4	180.6	181.0	176.7
1	91.7	91.3	94.7	90.9	92.0	91.4
χ'_{1i^*}	-0.43(2)	0.7(5)	5.2(1.4)	-1.0(3)	1.8(1.3)	**

v''_1	v''_1	Составные частоты в S_0 -состоянии			
		$v''_1 + v''_3$	$v''_1 + v''_5$	$v''_1 + v''_6$	$v''_1 + v''_7$
6	351.6	—	—	—	—
5	293.6	319.7	301.8	304.9	—
4	235.4	256.6	239.1	242.4	228.6
3	177.0	193.1	177.7	180.7	175.3
2	118.2	129.2	117.3	119.8	119.5
1	59.2	64.8	58.1	59.5	61.0
χ''_{1i^*}	-0.13(2)	5.5(2)	0.3(6)	-1.3(5)	1.8(0±0.8)

Примечания.

Цифры в кружке означают номера полос 0–0-переходов, соответствующих таблиц Деландра (см. табл. 3).

*Перекрестные ангармоничности χ_{1i} (см^{-1}), вычисляемые по формуле $\Delta\nu = (v_i + v_j) - v_i = \chi_{1i}v_iv_j$.

**Если $1954 \text{ см}^{-1} = v'_{11} + v'_{16}$ и $\chi'_{16} = 5.2 \text{ см}^{-1}$, то $\chi'_{1,11} = -19\pm 5 \text{ см}^{-1}$, $\chi'_{1,6} = -7\pm 3 \text{ см}^{-1}$.

Таблица 1

Сравнение экспериментальных величин постоянных A_0 , B_0 , C_0 (МГц) и моментов инерции I_A , I_B , I_C (ат. ед. массы E^2) и F (см^{-1}) [11] с вычисленными значениями для оптимизированной геометрии бензоилфторида

Экспериментальное значение	Расчет	Δ	Настоящая работа					
				Параметр (E , град.)	S ₀		S ₁	
					[11]	Настоящая работа	Настоящая работа	
$A = 3832.46$	—	—	3836.19	0.27	C=O	1.180	1.181	1.218
$B = 1214.175$	—	—	1214.57	0.40	C-F	1.348	1.349	1.354
$C = 922.603$	—	—	922.50	0.1	C-C	1.486	1.486	1.446
$I_A = 131.867$	131.659	0.21	131.790	0.08	$\angle\text{CCO}$	128.4	125.4	127.4
$I_B = 416.230$	416.123	0.11	416.097	0.13	$\angle\text{CCF}$	110.3	112.7	113.7
$I_c = 547.772$	547.782	0.01	547.837	0.06	—	—	—	—
$F = 0.579$	—	—	F = 0.5805	—	—	—	$F_0, F_1 \text{ см. } ***$	$F_0, F_1 \text{ см. } ***$

* Переводной множитель 505376.25.

** Если принять в бензольном кольце $r(\text{C}-\text{C}) = 1.397E$ и $r(\text{C}-\text{H}) = 1.084E$ [4].

*** S₀-состояние: $F_0 = 0.58006$, $F_2 = 0.00045$, S₁-состояние: $F_0 = 0.57993$, $F_2 = 0.00040$.

Таблица 2

Значения колебательных частот основного и возбужденного электронных состояний, выявленные из анализа УФ-спектра паров бензоилфторида (в см^{-1})

Отнесение [20, 21]	Симметрия	Жидкость			Газ				УФ-спектр (настоящая работа)	
		ИК	СКР		ИК		СКР		Основное состояние	Возбужд. состояние
			[18]	[18]	[19]	[20]	[21]	[20]		
χ_{tors}	a''	—	—	—	59.5 ± 3 [11]	—	—	—	59.2 ± 0.1	91.5 ± 0.2
FCO_{wag}	a	—	—	168	158 [17] 160	158	—	156	158	—
$\rho(\text{COF})$	a'	—	—	214	208 [17] 225	213	—	—	208	193
ν_{25}										
FCO_{bend}	a'	—	—	378	—	376	—	376	—	287
ν_{34}		—	587	587	589	—	—	—	589	—
ν_{6b}	a'	614	616	616	618	610	615	615	617	554
ν_{6a}	a''	685	—	—	690	670	683	683	—	—
ν_{10a}	a'	—	—	—	—	849	—	848	—	840
ν_{17B}	a''	—	—	—	926	939	940	940	—	947
ν_{14}	a'	1350	1358	—	—	—	—	—	—	1325
$\nu_{\text{C=O}}$	a'	1802	1812	—	1685	—	—	—	—	1400

Таблица 3

Частоты переходов в УФ-спектре паров бензоилфторида

N	$\nu(\text{см}^{-1})$ [5]	$\nu(\text{см}^{-1})$ (наст.раб.)	Отнесение (наст.раб.)	N	$\nu(\text{см}^{-1})$ [5]	$\nu(\text{см}^{-1})$ (наст.раб.)	Отнесение (наст.раб.)
1	34565			26		35479.1	3_1^0
2	34602			27	35514	35507.9	1_3^0
3	34623			28		35529.6	2_1^0
4	34659			29	35570	35569.8	1_2^0
5	34680			30	35606	35606.6	1_6^3
6	34715			31	35628	35626.2	1_1^0
7	34745			32	35641		
8		34980.9	$5_1^0 1_2^0; 6_1^0 1_3^1$	33	35663	35665.4	1_5^3
9		35010.0	$6_1^0 1_1^0$	34	35685	35687.3	0_0^0
10	35038	35040.1	$5_1^0 1_1^0$	35	35696		
11	35068	35070.0	6_1^0	36	35717	35718.3	1_1^1
12	35099	35098.0	5_1^0	37	35731		
13		35131.7	$5_1^0 1_1^1$	38	35750	35751.3	1_2^2
14		35161.0	$6_1^0 1_0^1$	39	35783	35783.3	1_3^3
15		35191.7	$5_1^0 1_3^3$	40	35813	35812.5	1_4^4
16		35200.5	$7_1^0 3_0^1$	41		35839.8	1_2^3
17	35229	35230.8	$7_1^0 3_0^1 1_1^1$	42		35880.3	3_0^1
18	35249	35252.8	$6_1^0 1_0^2$	43	35912	35912.9	$3_0^1 1_1^1$
19		35264.0	$7_1^0 3_0^1 1_2^2$	44	35948	35945.7	$3_0^1 1_2^2$
20	35288	35289.5	$7_1^0 3_0^1 1_0^1$	45	35968	35968.7	$6_0^1 3_1^0 1_1^0$
21	35309	35310.9	$5_1^0 1_3^3$	46		35997.6	$6_0^1 3_1^0 1_2^1$
22	35340	35342.3	$6_1^0 1_0^3$	47	36033	36033.5	$6_0^1 3_1^0$
23	35377	35383.8	$7_1^0 3_0^1 1_0^2$	48	36045		
24		35414.5	$7_1^0 3_0^1 1_1^3$	49	36062	36063.4	$6_0^1 3_1^0 1_1^1$
25		35458.2	$5_1^0 1_0^4$	50	36093	36093.3	$6_0^1 3_1^0 1_2^2$
51		36126.4	$6_0^1 3_1^0 1_3^3$	79	37174		
52	36234			80	37209	37204.0	$10_0^1 1_3^4$
53	36269			81		37227.5	$10_0^1 1_1^3$
54		36358.3		82		37242.9	$10_0^1 1_4^5$
55	36373			83	37294	37290.5	$11_0^1 6_0^1 1_6^0$
56	36404	36399.3	$9_0^1 1_4^0$	84	37318	37324.2	$11_0^1 6_0^1 1_7^1$
57	36427	36431.7	$9_0^1 1_5^1$	85		37361.0	
58	36462	36457.9	$9_0^1 1_3^0$	86	37376		
59	36494	36491.7	$9_0^1 1_4^1$	87	37408	37406.4	$11_0^1 6_0^1 1_4^0$
60	36523	36527.7	8_0^1	88		37441.0	$11_0^1 6_0^1 1_5^1$
61	36553	36556.9	$8_0^1 1_1^1$	89		37464.0	$11_0^1 6_0^1 1_3^0$
62	36579	36576.3	$9_0^1 1_1^0$	90	37492	37489.2	$11_0^1 6_0^1 1_7^3$
63	36612			91	37519	37525.5	$11_0^1 6_0^1 1_5^2$
64	36634	36634.0	9_0^1	92	37554	37554.7	$11_0^1 6_0^1 1_3^1$
65		36650.7		93	37578	37582.0	$11_0^1 6_0^1 1_1^0$
66	36663	36666.0	$9_0^1 1_1^1$	94		37614.1	$11_0^1 6_0^1 1_2^1$
67	36698	36696.7	$9_0^1 1_2^2$	95	37637	37641.2	$11_0^1 6_0^1$
68	36732	36726.3	$9_0^1 1_3^3$	96	37721		
69		36755.6	$9_0^1 1_4^4$	97	37752		
70	36773	36777.0	$10_0^1 1_4^0$	98		37802.4	$11_0^1 6_0^1 1_4^5$
71		36792.8		99		37837.0	$11_0^1 6_0^1 1_1^3$
72		36835.2	$10_0^1 1_3^0$	100		37860.2	$11_0^1 6_0^1 1_3^5$
73		36894.6	$10_0^1 1_2^0$	101		37874.8	
74	36916	36924.5	$10_0^1 1_3^1$	102	37897	37897.6	$11_0^1 6_0^1 1_0^3$
75	36948	36952.3	$10_0^1 1_1^0$	103	37925	37928.4	$11_0^1 6_0^1 4_0^1$
76	36975	36984.3	$10_0^1 1_2^1$	104	37956	37959.3	$11_0^1 6_0^1 4_0^1 1_1^1$
77	37007	37012.5	10_0^1	105	37988	37987.8	$11_0^1 6_0^1 4_0^1 1_2^2$
78		37038	$10_0^1 1_1^1$				

Таблица 4

Таблицы Деландра от 0-0 полосы и от фундаментальных частот основного состояния

v'	v''	0	1	2	3	4	5	6
0	34*	31	29	27	—	—	—	—
1	—	36	—	—	—	—	—	—
2	—	—	38	—	—	—	—	—
3	—	—	41	39	—	33	30	—
4	—	—	—	—	40	—	—	—

* В таблице Деландра, как в последующих указаны номера линий, приведенных в табл. 3.

от $v'' = 589 \text{ см}^{-1}$

v'	v''	0	1	2	3
0	12	10	8	—	—
1	—	13	—	—	—
2	—	—	—	—	—
3	—	21	—	15	—
4	25	—	—	—	—

от $v'' = 617 \text{ см}^{-1}$

v'	v''	0	1	2	3
0	11	9	—	—	—
1	14	—	—	—	8
2	18	—	—	—	—
3	22	—	—	—	—

Таблица 5

Таблицы Деландра от фундаментальных и составной частот возбужденного состояния

от $v' = 947 \text{ см}^{-1}$

v'	v''	0	1	2	3	4	5
0	64	62	—	58	56	—	—
1	—	66	—	—	59	57	—
2	—	—	67	—	—	—	—
3	—	—	—	68	—	—	—
4	—	—	—	—	69	—	—

от $v' = 1325 \text{ см}^{-1}$

v'	v''	0	1	2	3	4
0	77	75	73	72	70	—
1	—	78	76	74	—	—
2	—	—	—	—	—	—
3	—	81	—	—	—	—
4	—	—	—	80	—	—
5	—	—	—	—	—	82

от $v' = 1954 \text{ см}^{-1}$

v'	v''	0	1	2	3	4	5	6	7
0	95	93	—	89	87	—	83	—	—
1	—	—	94	92	—	88	—	84	—
2	—	—	—	—	—	91	—	—	—
3	102	99	—	—	—	—	—	—	90
4	—	—	—	—	—	—	—	—	—
5	—	—	—	100	98	—	—	—	—

Таблица 6

Уровни крутильного колебания, ω_e, x_{11} в S_0 -состоянии, полученные из разных таблиц Деландра (см^{-1})

0-v-переход	0-0	v'=947 см^{-1}	v'=1325 см^{-1}	v'=1954 см^{-1}	Среднее	[2]
0-1	59.2	59.1	59.3	59.2	59.2±0.1	59.6±0.4
0-2	118.2	117.9	118.3	118.1	118.1±0.1	117.6±1.0
0-3	177.0	176.5	177.0	176.7	176.8±0.2	176.2±1.2
0-4	235.4	234.9	235.5	234.9	235.2±0.3	234.5±0.4
0-5	293.6	293.0	293.7	292.8	293.3±0.4	—
0-6	351.6	—	351.7	350.3	351.2±0.6	—
0-7	—	—	—	408.4	408.4±0.5	—
ω_e	59.5	59.3	59.5	59.6	59.5±0.1	59.4±0.7
x_{11}	-0.13	-0.12	-0.13	-0.17	-0.14±0.02	-0.15±0.1

Таблица 7

Уровни крутильного колебания, ω_e, x_{11} в S_1 -состоянии, полученные из разных таблиц Деландра (см^{-1})

0-v- переход	0-0	v'=617 см^{-1}	v'=589 см^{-1}	Среднее	[2]
0-1	91.7	91.7	91.2	91.5±0.2	91.2±1
0-2	182.4	182.7	181.6	182.2±0.4	180.2±2
0-3	272.4	272.9	271.2	272.2±0.6	270.3±1
0-4	361.4	362.3	359.8	361.2±0.9	357.3±2
0-5	449.7	451.0	447.7	449.5±1.2	—
0-6	537.0	—	—	537.0±1.5	—
ω_e	92.5	92.5	92.1	92.4±0.2	91.8±1.2
x_{11}	-0.43	-0.38	-0.42	-0.41±0.02	-0.5±0.1

Таблица 8

Сравнение экспериментальных и расчетных уровней крутильного колебания в основном S_0 и возбужденном S_1 электронных состояниях (TORSIO)

Переход 0-v	S_0			S_1		
	$\omega_{\text{эксп}}$	$\omega_{\text{расч}}^*$	Δ	$\omega_{\text{эксп}}$	$\omega_{\text{расч}}^*$	Δ
0-1	59.20	59.18	-0.02	91.5	91.52	0.02
0-2	118.1	118.12	0.02	182.2	182.22	0.02
0-3	176.80	176.79	-0.01	272.2	272.10	-0.10
0-4	235.2	235.19	-0.01	361.2	361.16	-0.04
0-5	293.3	293.29	-0.01	449.5	449.46	-0.04
0-6	351.2	351.07	-0.13	537.0	537.20	0.20
0-7	408.4	408.52	0.12	—	—	—

*Для S_0 $v_2 = 1840 (\pm 10)$, $v_4 = -80 (\pm 3)$,

для S_1 $v_2 = 3190 (\pm 10)$, $v_4 = +120 (\pm 3)$.

Таблица 9

Сравнение параметров V_n потенциальной функции $V(\phi)$

Параметр	S_0						S_1		
	[23]	[11]	[5]	[17]	[2]	Настоящая работа	[5]	[2]	Настоящая работа
V_2	1569±26	1560±160	1450	1739±14	1800±100	1840±10	3450	2750±300	3190±10
V_4	—	—	—	—	-60±20	-80±3	—	220±50	120±3

Поэтому каждая группа исследователей, как правило, вынуждена решать эту задачу лишь частично [1–5, 12–14]. В связи с этим было бы весьма желательно разработать стандартный метод обработки спектров, обеспечивающий наибольшую объективность анализа, который не должен зависеть от конкретных авторов и целей исследования.

В настоящей работе на примере молекулы бензоилфторида, для которой имеются результаты двух независимых экспериментальных исследований и два варианта отнесения, мы провели анализ колебательной структуры с применением разработанного в нашей лаборатории соответствующего комплекса программ [7–10]. В частности, идея, лежащая в основе программы «CNEFI» [7], состоит в выделении совокупностей определенных частотных интервалов («кластеров»), преобладающих в данном спектре, и к построению на этой основе наиболее заметных прогрессий и секвенций. Однако появление значительного количества случайных интервалов, примешивающихся в каждый «кластер», сильно затрудняло полный анализ колебательной структуры.

В работе [10] использован новый алгоритм и создана программа «NONIUS», которая позволяет строить и анализировать таблицы Деландра для двухатомных молекул уже в полуавтоматическом режиме. Эту программу удается применить и к многоатомным молекулам, если таковые имеют низкочастотные колебания. Каждый анализируемый этой программой участок спектра находится в частотном интервале, в который входят все низкочастотные интервалы, группирующиеся около конкретного «местного начала», т.е. определенной таблицы Деландра. Указанный комплекс программ был успешно применен для молекулы бензоилфторида, где крутильные частоты ($w_{II} \approx 60 \text{ см}^{-1}$ и $w_{V} \approx 90 \text{ см}^{-1}$) малы по сравнению с другими частотами.

В результате проведенного анализа мы пришли к выводу, что вся колебательная структура УФ-спектра бензоилфторида на 80–90% состоит из полос с участием крутильных переходов. Этот вывод не противоре-

чит работе [5], в которой ранее около 70% полос поглощения было отнесено к колебаниям такого типа.

Анализ колебательной структуры УФ-спектра начинается с расчета вращательного контура полос, прежде всего с 0–0-полосы. Для такого расчета необходимо знать геометрию молекулы в обоих электронных состояниях. Микроволновые исследования бензоилфторида [11] показали, что молекула в S_0 состоянии имеет плоское строение. В табл. 1 приведены соответствующие вращательные постоянные и моменты инерции.

Полосы, наблюдаемые в спектре, имеют контуры двух типов: контур типа C, состоящий из двух максимумов с провалом между ними, и контур типа A/B (широкий, сплаженный, с одним максимумом). Описания вида вращательного контура в работах [2] и [5] полностью совпадают. На основании проведенной нами оптимизации геометрии для молекул бензальдегида, бензоилфторида и бензоилхлорида [4], а также результатов серии исследований других карбонильных соединений, мы пришли к выводу, что в S_1 -состоянии для всех этих молекул происходит в основном изменение геометрии группы $-\text{C}(\text{O})\text{R}$ [4]. Это, в частности, подтверждается и тем, что только одна частота валентного колебания $\text{C}=\text{O}$ резко снижается с 1700 до 1400 см^{-1} . Геометрические параметры молекулы бензоилфторида приведены в табл. 1.

Как и ранее [2, 5], за 0–0-переход принята полоса 35687.3 см^{-1} (35685 см^{-1} [5]). Такое отнесение подтверждается наличием ряда фундаментальных частот в S_0 -состоянии, известных из ИК-спектров: (158 и 208 см^{-1} [17], 589 и 617 см^{-1} [18–21] (табл. 2), и анализом соответствующих таблиц Деландра.

В табл. 3 приведены все измеренные [2, 5] полосы УФ-спектра паров бензоилфторида, причем наши данные несколько уточнены по сравнению с [2].

В таблице Деландра (табл. 4), построенной в области 0–0-перехода, проявляются так называемые «чистые» уровни крутильного колебания в обоих электронных состояниях вплоть до $v @ 6$. Детальные таблицы Деландра построены также для «местных начал»,

обусловленных двумя фундаментальными частотами S_0 -состояния $nI = 589 \text{ см}^{-1}$ и $nI = 617 \text{ см}^{-1}$, известными из ИК-спектров (табл. 4). В этих таблицах, включая таблицу от 0-0 перехода, как следует из рисунка, должны совпадать значения крутильных уровней S_1 -состояния, что и наблюдается в табл. 4, 7.

Поиск «местных начал», обусловленных колебательными частотами S_1 -состояния, представляет большие трудности, так как сами значения этих частот из каких-либо других источников неизвестны. Некоторые колебательные частоты S_1 состояния (табл. 2) аналогичны частотам того же состояния молекул бензальдегида и бензоилхлорида [1–4]. Частоты $n\ddot{\nu} = 947 \text{ см}^{-1}$, $n\ddot{\nu}_0 = 1325 \text{ см}^{-1}$ отнесены к фундаментальным частотам состояния S_1 , а частота $n\ddot{\nu} = 1954 \text{ см}^{-1}$ – к составной частоте $(1400 + 554) \text{ см}^{-1}$ (табл. 2, 3).

Соответствующие таблицы Деландра приведены в табл. 5, в них проявляются значения крутильных уровней основного состояния. Они совпадают с результатами, полученными для таблицы Деландра от 0-0-полосы (рисунок). Усредненные значения крутильных уровней для обоих электронных состояний приведены в табл. 6, 7, которые согласуются со значениями крутильных уровней [2] в пределах ошибок.

Удалось также построить еще две новые таблицы Деландра. В них «местное начало» обусловлено, по-видимому, переходом между составными колебательными уровнями двух электронных состояний

$$\begin{aligned} v'_6 - v''_3 &= 554 - 208 = 346 \text{ см}^{-1}, \\ v''_7 - v'_3 &= 690 - 193 = 497 \text{ см}^{-1} \quad (487 \text{ см}^{-1}) \end{aligned}$$

в табл. 3). Значения крутильных уровней обоих состояний в этих таблицах Деландра отличаются от соответствующих значений 0-0-полосы, что и должно наблюдаться. Во всех построенных таблицах Деландра каждый переход подтверждается многократно и с определенной точностью, что показано в табл. 6, 7. Отметим, что разработанная программа учитывает и так называемый «сдвиг на контур», так как «четные» и «нечетные» полосы* в таблицах Деландра имеют разные контуры и разную поправку на «начало полосы».

Прежде чем сравнивать результаты работ [2, 5] и настоящей работы, необходимо сопоставить условия получения этих спектров и измерения полос. Наша техника эксперимента была описана ранее [1–3]. УФ-спектры получены на спектрографе «ДФС-2» с решеткой размером 120 мм и 600 штр/мм во II порядке (разрешающая сила » 144000). «Спектральная» ширина щели 0.5 см^{-1} . Поскольку в работе [5] разрешающая способность была ниже (» 15000), то на наших

спектрограммах контуры полос обоих типов (C и A/B), вероятно, менее слажены. Техника измерения полос в сравниваемых работах, вероятно, также отличается. Важно помнить, что как бы ни измерялись полосы поглощения – «по провалу», максимуму поглощения или как-то иначе, это не значит, что измеряется «истинное начало» полос типа C или A/B . Однако разность частот полос одинакового контура в таблице Деландра при единообразном измерении демонстрирует достигаемую точность. В наших работах точность измерения составляла ± 0.5 и $\pm 1.5 \text{ см}^{-1}$ для полос типа C и A/B соответственно. В работе [5] указана средняя точность $\pm 2 \text{ см}^{-1}$.

В нашей работе и работе [5] экспериментальные значения частот, так же как и их отнесения, в области 0-0-полосы практически совпадают. Мы попытались построить таблицу Деландра от n_{00} по данным работы [5]. Значения $w\ddot{\nu}$ и $w\ddot{\nu}_0$ в пределах ошибок совпадают с нашими значениями (табл. 6, 7), однако ангармоничность крутильного колебания $w\ddot{\nu}$ (по Белфору) получается положительной, что является, вероятно, следствием недостаточной точности измерений.

Сравнивая наше отнесение с приведенным в работе [5], необходимо отметить, что в целом они совпадают, но в тех случаях, когда удалось построить новые таблицы Деландра, отличаются.

В S_1 -состоянии с данными работы [5] практически совпадают следующие частоты: 89 [5] и 91.5 см^{-1} , 348 [5] и 346 см^{-1} , 950 [5] и 947 см^{-1} (вторые числа соответствуют настоящей работе). Однако частоту 346 см^{-1} нельзя отнести к фундаментальной частоте (как это сделано в работе [5]), так как значения крутильных уровней в S_0 -состоянии соответствующей таблицы Деландра не совпадают с таковыми от 0-0-полосы. Заметим, что в состоянии S_1 нами дополнительно найдены две новые частоты $n\ddot{\nu}_{10} = 1325 \text{ см}^{-1}$ и $n\ddot{\nu} = 1954 \text{ см}^{-1} = n\ddot{\nu}_{11} + n\ddot{\nu}_6$ (см. выше).

В работе [5] отнесение секвенций совпадает с нашим. Нижние уровни с малыми значениями v совпадают в пределах ошибок $\pm 2 \text{ см}^{-1}$, а более высокие уровни получены нами более точно. Поскольку мы усредняли значения только «чистых» уровней, то они, вероятно, являются наиболее точными на сегодня. В S_0 -состоянии они хорошо согласуются со значениями работы [11], но не совпадают с работой [17] (см. ниже). Ранее первое приближение для потенциальной функции внутреннего вращения (ПФВВ) вида

$$v(\phi) = \frac{1}{2} \sum_n (1 - \cos n\phi) \quad (3)$$

было получено «аналитическим методом» [2]. Для бо-

*Определение «четная» полоса соответствует четному числу $v'' + v'$, «нечетная» – нечетному, где $v'' + v'$ – квантовые числа основного и возбужденного электронных состояний соответственно.

лее строгого построения ПФВВ необходимо, используя структурные данные, учесть зависимость $F(j)$.

К сожалению, информация о вращательных постоянных в S_1 -состоянии на основании анализа вращательного контура 0–0-полосы недостаточно точна. Однако для молекулы бензоилхлорида и аналогичных молекул в S_1 -состоянии было отмечено характерное изменение в длинах связей и углов [4]. Учитывая это, мы предположили, что изменения параметров возбужденного состояния бензоилфторида аналогичны. Коэффициенты разложения F для S_0 и S_1 приведены в табл. 1.

В качестве начального приближения был принят вид ПФВВ из работы [2]. Решение задачи «TORSIO» [22] приводит к более точным значениям параметров ПФВВ для обоих электронных состояний (табл. 8, 9) при хорошем согласии расчетных и экспериментальных значений уровней. Полученные значения V_2 и V_4 совпадают с [2] в пределах ошибок.

В работе [17] было приведено другое значение коэффициента $V_2 = 1739 \text{ см}^{-1}$ для основного состояния (табл. 9). Этот параметр получен исходя из двух значений крутильных переходов 0@1 (63.4 см^{-1}) и 1–2 (61.9 см^{-1}) [17]. Отметим, что, с одной стороны, расхождение между крутильной частотой и обертонаем крутильного колебания у нас (59.2 и 118.1 см^{-1}) и в работе [17] (63.4 и 125.3 см^{-1}) значительно превышает ошибки измерения обоих методов. С другой стороны,

значение крутильной частоты 59.2 см^{-1} хорошо согласуется со значением 60.03 см^{-1} [23], а наше значение обертона 118.1 см^{-1} почти совпадает со значением 117 см^{-1} [21]. К сожалению, расхождения между нашими данными и результатами [17] наблюдаются не только для бензоилфторида, но и для других молекул (например, бензоилхлорида, метилвинилкетона, акрилоилфторида, акрилоилхлорида и др.) [16]. Эти вопросы требуют отдельного обсуждения, в частности анализа достоинств и недостатков обоих методов.

Метод УФ-спектроскопии имеет ряд преимуществ перед ИК-Фурье-спектроскопией при анализе крутильных переходов. В частности, в УФ-спектрах видно резонансное взаимодействие некоторых крутильных уровней с другими колебаниями, так как в таблицах Деландра из-за него сдвигается целый столбец, и его легко восстановить, учитывая этот сдвиг. Возможность построения многочисленных таблиц Деландра по данным УФ-спектров повышает надежность вычисления крутильных уровней, поскольку сама структура таблиц Деландра – это многоразовое подтверждение одних и тех же крутильных переходов. Основной трудностью метода УФ-спектров является, конечно, объективная расшифровка колебательной структуры. Эта проблема, как следует из настоящей работы, имеет хорошие шансы для своего разрешения на путях автоматизации анализа с помощью ЭВМ.

Работа частично поддержана грантом
РФФИ 96–15–97469 для «Ведущих научных школ».

СПИСОК ЛИТЕРАТУРЫ

- Глебова Л.А., Пентин Ю.А., Тюлин В.И. // Вестн. Моск. ун-та. Сер. 2, Химия. 1980. **21**. С. 22.
- Глебова Л.А., Пентин Ю.А., Тюлин В.И. // Вестн. Моск. ун-та. Сер. 2, Химия. 1980. **21**. С. 125.
- Глебова Л.А., Пентин Ю.А., Тюлин В.И. // Вестн. Моск. ун-та. Сер. 2, Химия. 1983. **24**. С. 234.
- Королева Л.А., Тюлин В.И., Матвеев В.К., Пентин Ю.А. // Вестн. Моск. ун-та. Сер. 2, Химия. 1998. **39**. С. 20.
- Balfour W. // J. Mol. Spectr. 1980. **84**. P. 60.
- Герцберг Г. Электронные спектры и строение многоатомных молекул. М., 1969. С. 143.
- Абрамович А.Б., Тюлин В.И. Проблемы автоматизации анализа электронно-колебательных спектров. Деп. ВИНТИ. №7866-В. от 3.11.88.
- Абрамович А.Б., Тюлин В.И. // Тез. XX съезда по спектроскопии, сентябрь 1988. Киев. С. 447.
- Абрамович А.Б., Матвеев В.К., Тюлин В.И. // Тез. докл. IX Всесоюз. симпоз. по межмолекулярному взаимодействию и конформации молекул. Черноголовка. 1992.
- Матвеев В.К., Тюлин В.И. // ЖСХ. 1997. **38**. С. 363.
- Kakar R.K. // J. Chem. Phys. 1972. **56**. P. 1189.
- Годунов И.А. Автореф. дис. ... канд. хим. наук. М., 1981.
- Годунов И.А., Тюлин В.И. Деп. ВИНТИ. №1980-В. от 21.5.80.
- Годунов И.А., Иголкина Н.А., Тюлин В.И. Деп. ВИНТИ. №1983-В. от 21.5.80.
- Марголин Л.Н. Автореф. дис. ... канд. хим. наук. М., 1975.
- Глебова Л.А. Автореф. дис. ... канд. хим. наук. М., 1981.
- Durig J. R., Bist H. D., Furic K. Qiu. J. // J. Mol. Struct.. 1985. **129**. P. 45.
- Delorme P. Lorenzelli V., Alemagna A. // J. Chim. Phys. et de Phys-Chim. Biolog. 1965. **62**. P. 3.
- Lebas J.M. // J. Chim. Phys. et de Phys-Chim. Biolog. 1962. **59**. P. 1072.
- Green J.H.S., Harrison D.J. Spectrochim. Acta. 1977. **33**. P. 583.
- Yadav R.A., Ram. S., Shanker R., Singh J.S. Spectrochim. Acta. 1987. **43**. P. 901.
- Абраменков А.В. // ЖФХ. 1995. **69**. С. 1048.
- Larsen N.W., Pedersen T., Sorensen B.F. // J. Mol. Spectr. 1988. **128**. P. 370.